

УДК 537.622

**ТЕМПЕРАТУРНАЯ ЗАВИСИМОСТЬ НАМАГНИЧЕННОСТИ
И СПИН-ПЕРЕОРИЕНТАЦИОННЫЙ ПЕРЕХОД
В АМОРФНЫХ ПЛЕНКАХ Dy—Co**

*Б. П. Хрусталев, В. Г. Поздняков,
Г. И. Фролов, В. Ю. Яковчук*

Исследованы температурная и полевая зависимости намагниченности аморфных пленок Dy—Co, обладающих точкой магнитной компенсации. Экспериментальные результаты проанализированы в рамках феноменологической теории спин-переориентационных переходов для ферримагнетиков, проведена оценка константы межподрешеточного обмена: $\lambda \sim 200$.

Интерес к аморфным ферримагнитным пленкам сплавов $3d-4f$ металлов вызван перспективностью использования их в качестве сред для магнитооптической записи, обработки и хранения информации [1, 2].

Для исследования обменных взаимодействий в $3d-4f$ сплавах обычно используют моно- или поликристаллические объемные образцы. Например, в работе [3] показано, что в монокристалле $DyCo_{5.3}$ вблизи температуры магнитной компенсации $T_k=124$ К сильное магнитное поле $H \sim 100$ кЭ, приложенное в плоскости легкого намагничивания, индуцирует возникновение неколлинеарной магнитной структуры. Определено молекулярное поле, действующее на подрешетку Dy со стороны подрешетки Co $H_M=950 \pm 50$ кЭ, и параметр обменного взаимодействия между подрешетками $\lambda=(1.090 \pm 0.08) \cdot 10^3$.

В отличие от кристаллических сплавов с небольшим количеством стехиометрических соединений, дающих гомогенный состав, аморфные сплавы имеют широкие концентрационные пределы и соответственно различные физические свойства, что позволяет подобрать образцы, соответствующие ограничениям, налагаемым экспериментальной методикой, а также изучать концентрационные зависимости.

Основной целью данной работы явилось обнаружение индуцированного магнитным полем перехода в неколлинеарное состояние и определение из этого перехода эффективной константы межподрешеточного обменного взаимодействия λ для аморфных пленок Dy—Co.

Изучалась также температурная зависимость намагниченности этих пленок и петли гистерезиса в интервале полей 0—70 кЭ и температур 4.2—300 К.

1. Технология и образцы

Пленки были получены методом одновременного вакуумного напыления на подложку диспрозия и кобальта из разных тиглей [4]. Для уменьшения последующего окисления на поверхность пленок наносился защитный слой монооксида или двуокиси кремния.

Известно, что индуцированный полем переход в неколлинеарное состояние легче всего наблюдать вблизи температуры магнитной компенсации T_k . Поэтому выбирались пленки такого состава, чтобы их T_k попала в диапазон температур, обусловленных методикой эксперимента.

Предварительный отбор образцов проводился по петлям гистерезиса при комнатной температуре на магнитооптической установке.

Для окончательных экспериментов были выбраны пленки состава $Dy_{21.7}Co_{78.3}$ на кварцевой подложке и $Dy_{21.5}Co_{78.5}$, $Dy_{19}Co_{81}$ на лавсановой подложке. Толщина пленок ($\sim 700 \text{ \AA}$) и их состав определялись с помощью рентгеноспектрального анализа.

2. Методика эксперимента

Измерение магнитного момента образцом было проведено на автоматизированном магнитометре [5], при эксперименте пленки намагничивались вдоль нормали к плоскости. Для предохранения пленок от возможного окисления в течение всего цикла измерений они находились в атмосфере гелия. Скорость развертки температуры была не более 4 К/мин вдали от T_k и менее 1.5 К/мин вблизи T_k . При таких скоростях развертки ошибка в измерениях температуры образца, обусловленная расположением термопары и температурными градиентами, оказывается пренебрежимо малой.

Для исключения влияния магнитной предыстории образца на результаты измерений $M(T)$ каждый цикл измерения проводился по следующей

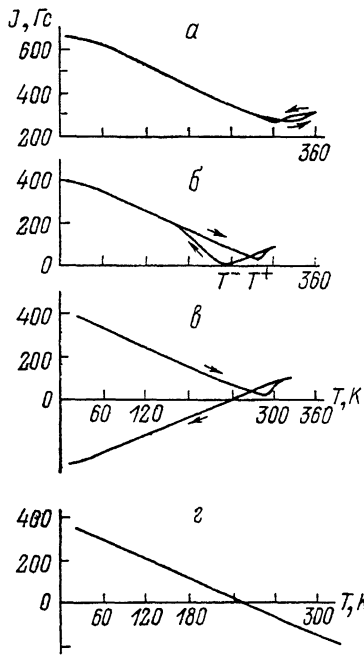


Рис. 1. Температурная зависимость намагниченности пленки $Dy_{21.7}Co_{78.3}$ в разных полях.

$H, \text{ кЭ: } a - 60, b - 5, c - 3, d - 0.$

схеме: пленка охлаждалась до 4.2 К и намагничивалась полем 70 кЭ, затем величина поля снижалась до необходимого уровня и проводилась развертка температуры до максимального значения 360 К и обратно до 4.2 К.

3. Экспериментальные результаты

На рис. 1 приведены характерные зависимости $J(T)$ для образца $Dy_{21.7}Co_{78.3}$, снятые в разных полях. $J=M/V$ — эффективная намагниченность. Видно, что для $H=0$ при $T=260$ К намагниченность меняет знак, что свидетельствует о переходе через точку компенсации T_k . При наложении магнитного поля кривые приобретают более сложный вид, причем в окрестности T_k наблюдается температурный гистерезис. Из кривых $J(T)$ для разных полей определялись значения температуры T^+ и T^- , соответствующие минимальным значениям намагниченности при нагреве и охлаждении (рис. 2). Результаты представлены на $H-T$ диаграмме (рис. 3).

Петли гистерезиса, снятые в интервале температур 4.2—300 К, приведены на рис. 4. Вдали от T_k петли имеют «обычный вид» и достаточно хорошоую прямоугольность, свидетельствующую о наличии перпендикулярной анизотропии. Вблизи T_k петли имеют сложный характер.

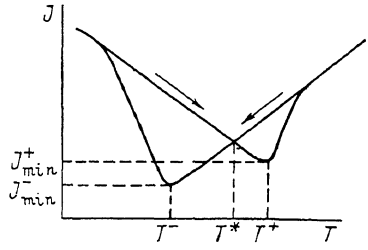


Рис. 2. Схематичный ход $J(T)$ вблизи точки компенсации.

4. Обсуждение результатов

Магнитная структура аморфных пленок Dy_xCo_{1-x} может быть представлена двухподрешеточной моделью ферромагнетика с сильным случайным угловым разбросом магнитных моментов редкоземельной подрешетки [6]. Такая угловая дисперсия намагниченности диспрозия, очевидно, связана со случайным распределением осей локальной анизотропии, средняя энергия которой сравнима с энергией обмена Dy — Co . Этим можно объяснить ход экспериментальных кривых $J(H)$ при достаточно высоких температурах (плавный выход на прямую; рис. 5). Однако при обсуждении наших результатов мы будем пользоваться моделью двухподрешеточного одноосного ферромагнетика, в котором обмен Dy — Dy пренебрежимо мал, подрешетка кобальта намагниена обменным полем H_{Co-Co} до насыщения, а подрешетка диспрозия

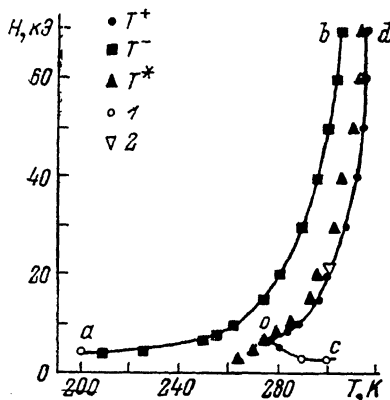


Рис. 3. Экспериментальная H — T диаграмма пленки $Dy_{21.7}Co_{78.3}$

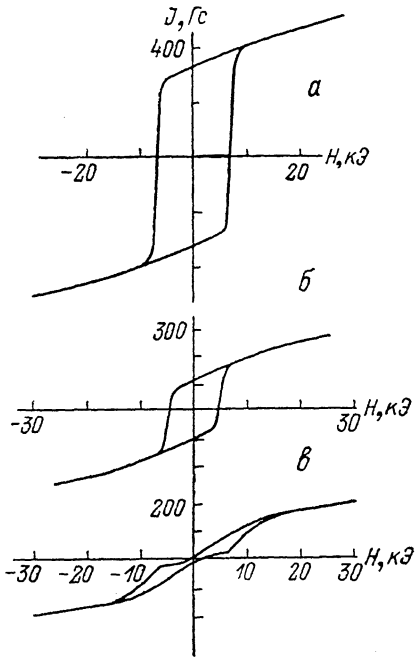


Рис. 4. Петли гистерезиса пленки $Dy_{21.7}Co_{78.3}$ при $T=50$ (a), 200 (б), 250 K (в).

представляет собой идеальный парамагнетик, находящийся во внешнем поле и обменном поле, созданном кобальтовой подрешеткой $H_{Dy-Co}=\lambda J_{Co}=H_{обм}$, где λ — константа межподрешеточного обмена. Возникновение неколлинеарной магнитной структуры в таких ферромагнетиках и их фазовые диаграммы были теоретически рассмотрены в работах [7-9]. Полученная в этих работах фазовая H — T диаграмма однородного ферромагнетика для случая, когда $H \parallel$ ОЛН (ОЛН — ось легкого намагничивания) и $H < H_{обм}$, приведена на рис. 6, a.

В областях I и II, ограниченных кривыми COD и AOB соответственно, намагниченности подрешеток J_{Dy} и J_{Co} антипараллельны, причем в области I $\cos \theta = -1$, а в области II $\cos \theta = 1$ (θ — угол между J_{Co} и H). Уравнения, задающие линии AOB и COD, можно представить в виде

$$(J_{Co} - J_{Dy}(\theta)/(1 - H/H_{обм})) H - 2K = 0, \theta = \pi, \\ (J_{Co} - J_{Dy}(\theta)/(1 - H/H_{обм})) H + 2K = 0, \theta = 0. \quad (1)$$

В области IV, ограниченной сверху кривой AOC, могут существовать обе фазы. Зависимость $J(T)$ при $H < H^* \approx \sqrt{2K\lambda}$ показана на рис. 6, б (K — константа анизотропии). Температуры T^+ и T^- соответствуют линиям AO и CO H — T диаграммы, на которых происходит скачкообразное перемагничивание образца (фазовый переход 1-го рода). В области III J_{Dy} и J_{Co} неколлинеарны, $-1 < \cos \theta < 1$. На линиях DO и BO происходит фазовый переход 2-го рода и температурный гистерезис, ха-

рактерный для $H < H^*$, отсутствует. Намагниченность в области III дается выражением

$$J = H/\lambda + \frac{2K}{\lambda J_{Co}} \cos \theta - \frac{2K}{H} \cos^2 \theta. \quad (2)$$

Если $H \gg H_a = 2K/J_{Co}$, $H \gg H^* \approx \sqrt{2K\lambda}$, то $J \approx H/\lambda$. Зависимость $J(T)$ в этом случае показана схематично на рис. 6, в (для простоты считаем, что зависимость $J(T)$ в коллинеарных фазах линейна).

$\Rightarrow J_{Co}$
 $\rightarrow J_{Dy}$

Рассмотрим экспериментальную $H-T$ диаграмму (рис. 3). Видно, что в области полей $H < 7$ кЭ она качественно соответствует фазовой диаграмме (рис. 6, а) для $H < H^*$. Экспериментальные кривые $J(T)$ (рис. 1) при $H < 7$ кЭ также имеют качественное сходство с кривыми на рис. 6, б. «Размытость» фазового перехода можно легко объяснить неоднородностью магнитных характеристик образца. Этим же можно объяснить положительные значения J_{min} в некоторых случаях.

Обратим внимание на следующее отличие экспериментальных кривых $J(T)$ от теоретических (рис. 6, б). Экспериментальные значения $J_{min}^+ \leq J_{min}$ для всех полей; в достаточно малых полях образец перемагничивается при охлаждении лишь частично или не перемагничивается вовсе (рис. 1). Это от-

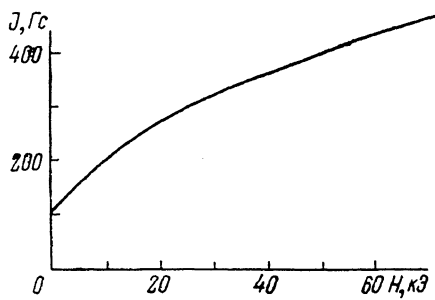
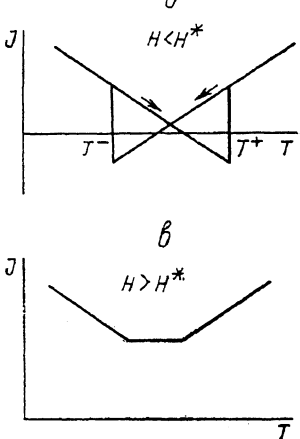
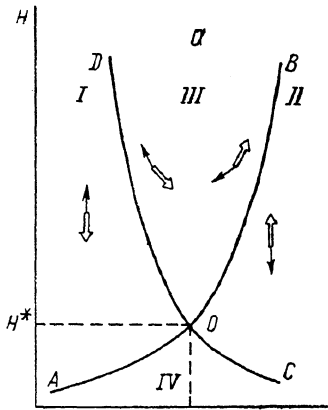


Рис. 5. Кривая намагничивания пленки $Dy_{21.7}Co_{78.3}$. $T=155$ К.

Рис. 6. Фазовая диаграмма однородного одноосного ферромагнетика, имеющего точку магнитной компенсации T_k (а), и температурная зависимость намагниченности (б, в) [9].

личие объясняется тем, что теоретические кривые (рис. 6, б) получены в предположении $K(T)=\text{const}$, в то время как в реальных образцах константа анизотропии может сильно меняться при изменении температуры. Для исследуемого образца мы определили эту зависимость из петель гистерезиса. Считая, что перемагничивание пленки (в поле $H=H_c$) происходит на линиях AO и OC фазовой диаграммы (рис. 6, а), из уравнений (1) при условии $H \ll H_{ob}$ получаем $K \approx K_{af} = H_c J/2$.

Влияние неоднородности образца на точность определения K вдали от точки компенсации уменьшается, так как с понижением температуры значения H_c и J растут. Стохастическая магнитная структура, присущая аморфным средам [10] и проявляющаяся в наших образцах, в частности, сильной угловой дисперсией анизотропии, конечно же, приводит к тому,

что при перемагничивании пленок будет наблюдаться образование зародышей и смещение границ. Однако описание процесса перемагничивания при этом сильно усложняется, поэтому мы проводили оценку K в предположении, что перемагничивание происходит однородным вращением. На рис. 7 приведены зависимость $H_c(T)$ и полученная из нее зависимость $K_{\text{зф}}(T)$. Отметим, что зависимость $K_{\text{зф}}(T)$ хорошо аппроксимируется экспонентой. Таким образом, предположение о зависимости K от температуры подтверждается экспериментально. Значения H_c , измеренные по петлям гистерезиса, как и следовало ожидать, хорошо легли на линии ab и cd экспериментальной диаграммы (точки 1 на рис. 3).

Рассмотрим теперь линию od в полях $H \geq 7$ кЭ (рис. 3). В принципе смещение значений T^+ при изменении температуры может быть вызвано неоднородностями образца. Однако проведенный анализ процессов пере-

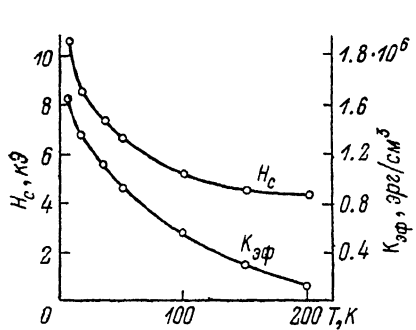


Рис. 7. Температурная зависимость коэрцитивной силы H_c и эффективной константы наведенной анизотропии $K_{\text{зф}}$ для пленки $Dy_{21.7}Co_{78.3}$.

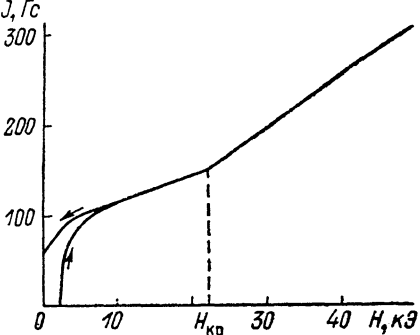


Рис. 8. Кривая перемагничивания (фрагмент петли гистерезиса) пленки $Dy_{21.7}Co_{78.3}$ при $T=300$ К.

магничивания в модели слабо взаимодействующих участков показал, что значение T^+ не может увеличиваться при повышении поля. Следовательно, ход кривой od на диаграмме (рис. 3) наличием неоднородностей не объясняется.

Мы предполагаем, что выше линии od часть образца переходит в неколлинеарную фазу. В этом случае экспериментальные кривые $J(T)$ (рис. 1) являются суперпозицией кривых рис. 6, б, в. Тогда кривая od на рис. 3 должна быть близка к кривой OB на теоретической диаграмме (рис. 6, а), а гистерезис минимальных значений $J_{\min}(T)$ может быть связан с существованием в образце областей, для которых кривые $J(T)$ имеют вид, изображенный на рис. 6, б.

Если наше предположение верно, то на кривых $J(H)$, снятых при фиксированной температуре, должны наблюдаться особенности, связанные с переходом в неколлинеарное состояние (увеличение наклона кривой $J(H)$), причем поле, соответствующее этой особенности, должно совпадать (коррелировать) с полем, определяемым кривой od . Такая особенность хорошо заметна на рис. 8, где переведена часть петли гистерезиса $J(H)$. Характерный излом кривой при $H=H_{\text{kp}}$ свидетельствует о начале «схлопывания» подрешеток (о переходе в неколлинеарное состояние), а величина поля H_{kp} , определенная из рис. 8, хорошо легла на кривую od рис. 3 (точка 2).

Согласно [7], с учетом сделанных выше замечаний о переходе в неколлинеарное состояние части образца его магнитный момент может быть представлен в виде

$$M = V_1(H/\lambda) + V_2 J_2, \quad (3)$$

где V_1 , V_2 — объемы частей образца, соответствующих неколлинеарному и коллинеарному состояниям; J_2 — намагниченность участка V_2 ; $J_2 = J_2(H=0) + \chi_d H$, χ_d — дифференциальная восприимчивость подрешетки

диспрозия. Считаем, что $H > H_{c2}$ ($T \geq 350$ К). Намагниченность участка V_2 , соответствующая пересечению кривых $J(T)$, полученных при нагревании и охлаждении образца в постоянном поле

$$J_{\frac{1}{2}} = \chi_d H. \quad (4)$$

С учетом (3) имеем

$$M = V_1(H/\lambda) + V_2\chi_d H, \quad (J^+ = J^-). \quad (5)$$

Определим $\lambda_{\text{зф}} = H/J$, считая, что $\lambda \approx \text{const}$ для всего объема образца. Из (4) следует

$$1/\lambda_{\text{зф}} = M/VH = V_1/V\lambda + \chi_d V_2/V. \quad (6)$$

Отсюда видно, что $\lambda_{\text{зф}} > \lambda$, так как $\chi_d < 1/\lambda$. Отметим также, что $\lambda_{\text{зф}}$ будет корректно определяться из хода экспериментальных кривых $J(T)$ лишь в достаточно больших полях, когда высокоанизотропные области (объем V_2) перемагничиваются и выполняется условие (4).

Действительно, определенные экспериментально из кривых $J(T)$ значения $\lambda_{\text{зф}} = H/J^{\pm}$ оказываются зависящими от поля при малых H . Однако при $H \geq 30$ кЭ $\lambda_{\text{зф}}$ практически не меняется, $\lambda_{\text{зф}} \approx 210$. Таким образом, определенное из кривых $J(T)$ значение $\lambda \leq 210$.

Оценку λ можно провести также из кривых $J(H)$ (рис. 8) по наклону кривой при $H > H_{kp}$ ($1/\lambda_{\text{зф}} = \partial J / \partial H$). Определенное таким образом значение $\lambda_{\text{зф}} \approx 180$ хорошо согласуется со значением $\lambda_{\text{зф}}$, определенным из $J(T)$. Следовательно, из эксперимента определено $\lambda \leq 180 \div 210$.

Отметим, что приведенные выше экспериментальные результаты относятся к образцу, для которого температура магнитной компенсации и величина анизотропии оказались наиболее подходящими для проведения эксперимента по индуцированию полем неколлинеарного состояния. Результаты для других образцов качественно совпадают с описанными, однако из-за высокой анизотропии и большей степени неоднородностей их количественная оценка оказалась более грубой и здесь не приводится.

Отметим также, что для изучения природы наведенной анизотропии представляют интерес температурная зависимость H_c и определяемая из нее температурная зависимость эффективной константы анизотропии (рис. 7).

Основные особенности сложных петель гистерезиса вблизи T_k (рис. 4) объясняются наличием в образцах взаимодействующих областей с различными магнитными характеристиками.

Обратим еще также внимание на почти линейный ход температурной зависимости намагниченности $J(T)$, наблюдавшийся нами для всех образцов в широком температурном интервале.

В данной работе не учитывалось влияние стохастической магнитной структуры на спин-переориентационные переходы. Как следует из работы [10], где рассмотрено намагничивание аморфного ферро- и ферримагнетика с такой структурой, это влияние должно проявляться, однако качественно ход кривых намагничивания сохраняет основные особенности, присущие однородным ферримагнетикам.

В заключение приведем основные выводы, полученные в данной работе.

Проведены исследования намагниченности Dy—Со аморфных пленок в широком диапазоне полей и температур, включая область магнитной компенсации.

Обнаружены температурный гистерезис намагниченности вблизи T_k и характерный для фазового перехода в неколлинеарное состояние излом на кривой $J(H)$.

Обнаружено, что температурная зависимость намагниченности имеет линейный характер в широком диапазоне температур.

Экспериментальные результаты проанализированы в рамках феноменологической теории спин-переориентационных переходов для ферромагнетиков с учетом неоднородностей образцов.

Проведена оценка константы межподрешеточного обмена: $\lambda \sim 200$.

Л и т е р а т у р а

- [1] Середкин В. А., Фролов Г. И., Яковчук В. Ю. // Препринт № 368Ф. Красноярск, ИФСО АН СССР. 1986. 20 с.
- [2] Середкин В. А., Фролов Г. И., Яковчук В. Ю. // ЖТФ. 1984. Т. 54. № 6. С. 1183—1185.
- [3] Березин А. Г., Левитин Р. З., Попов Ю. Ф. // ЖЭТФ. 1980. Т. 79. № 1 (7). С. 268—280.
- [4] Жигалов В. С., Кононов В. П., Фролов Г. И., Яковчук В. Ю. // Препринт № 406Ф. Красноярск, ИФСО АН СССР. 1987. 47 с.
- [5] Балаев А. Д., Бояршинов Ю. В., Карпенко М. М., Хрусталев Б. П. // ПТЭ. 1985. № 3. С. 167—168.
- [6] Arresse-Boggiano R., Chappert J., Coey J. D. M. et al. // J. de Physique. 1976. Т. 37. N 12. Р. С1—771—775.
- [7] Горянский Б. П., Звездин А. К. // Письма в ЖЭТФ. 1969. Т. 10. № 4. С. 196—200.
- [8] Халтурин В. Н. // ФММ. 1986. Т. 41. № 2. С. 271—278.
- [9] Белов К. П., Звездин А. К., Кадомцева А. М., Левитин Р. З. // Ориентационные переходы в редкоземельных магнетиках. М., 1979. 436 с.
- [10] Богомаз И. В., Игнатченко В. А. // Препринт № 473Ф. Красноярск, ИФСО АН СССР. 1988. 23 с.

Институт физики им. Л. В. Киренского
СО АН СССР
Красноярск

Поступило в Редакцию
10 августа 1988 г.